

## 联二噻吩稠合的近红外 BODIPY 染料的合成与光谱性质

杨永超<sup>1,2</sup> 盖立志<sup>2</sup> 张丹<sup>1</sup> 闫婧<sup>1</sup> 赵好力宝<sup>1</sup> 沈珍<sup>\*2</sup>

(<sup>1</sup>天津出入境检验检疫局,天津 300308)

(<sup>2</sup>南京大学化学化工学院,南京 210023)

**摘要:**以叠氮乙酸乙酯和联二噻吩甲醛为原料,合成了联二噻吩并吡咯单体,之后在酸催化下与4-*N,N*-二甲基氨基苯甲醛缩合并与三氟化硼配位,得到一个新型的BODIPY染料SY。采用<sup>1</sup>H NMR、质谱以及元素分析对其结构进行了表征。化合物SY在二氯甲烷中的最大吸收和发射波长分别为654和689 nm;采用荧光光谱滴定方法研究了它对pH值的响应,酸性条件下*N,N*-二甲基氨基基团发生质子化,抑制了光诱导电子转移对BODIPY母体的荧光猝灭,其溶液的荧光显著增强,染料SY可以作为近红外的pH值荧光探针。

**关键词:**氟硼二吡咯;联二噻吩;pH值;荧光探针

中图分类号:O612.3 文献标识码:A 文章编号:1001-4861(2017)04-0601-06

DOI:10.11862/CJIC.2017.066

## Synthesis and Spectroscopic Properties of Bithiophene-Fused BODIPY

YANG Yong-Chao<sup>1,2</sup> GAI Li-Zhi<sup>2</sup> ZHANG Dan<sup>1</sup> YAN Jing<sup>1</sup> ZHAO Hao-Li-Bao<sup>1</sup> SHEN Zhen<sup>\*2</sup>

(<sup>1</sup>Tianjin Entry-Exit Inspection and Quarantine Bureau, Tianjin 300308, China)

(<sup>2</sup>School of Chemistry & Chemical Engineering, Nanjing University, Nanjing 210023, China)

**Abstract:** A bithiophene-fused BODIPY (SY) dye is synthesized via acid catalyzed condensation of thiophene substituted thienopyrrole and 4-*N,N*-dimethylaminobenzaldehyde, followed by treatment with boron trifluoride diethyl ether. The structure of SY has been characterized by <sup>1</sup>H NMR, mass and elemental analysis. The absorption and emission bands of SY are centered at 654 nm and 689 nm in CH<sub>2</sub>Cl<sub>2</sub>, respectively. Fluorometric titration experiment shows that the fluorescence intensity is enhanced upon protonation of the electron donating *N,N*-dimethylamino group, suggesting that SY can be used as a NIR fluorescence probe for pH value.

**Keywords:** BODIPY; bithiophene; pH value; fluorescence probe

## 0 引言

近年来,吸收和发射在近红外区域的分子的设计合成越来越受到广泛的关注,因为该区域和生物窗口(650~1 000 nm)光谱是基本一致的。在生物窗口内,生物组织对光子的吸收和散射都是最低的,近红外光在组织内的穿透深度更大,同时背景荧光的干扰也最低,信噪好。近红外吸收和发射的染料在生物

成像、生物传感器、光电材料以及光动力治疗方面有着极为广泛的应用前景<sup>[1-3]</sup>。

在此基础上,各类荧光染料都取得了长足的发展。其中BODIPY类染料的研究最为热门。这主要是因为它的许多优异特性:极高的摩尔吸光系数,相对适中的氧化还原电位,光谱性质对环境的极性不敏感,相当高的光稳定性和化学稳定性,结构容易修饰<sup>[4-8]</sup>。然而经典的BODIPY染料的吸收位于470~

收稿日期:2016-11-27。收修改稿日期:2017-02-15。

国家自然科学基金(No.21371090)资助项目。

\*通信联系人。E-mail:zshen@nju.edu.cn

530 nm 的可见光区域,极大的限制了其在诸多方面的应用。因此,设计和合成吸收、发射光谱在更长波长范围内甚至近红外区域的 BODIPY 分子就显得更加有意义,而这也是近年来国内外研究的焦点<sup>[9-13]</sup>。

要实现 BODIPY 分子的光谱红移,一般包括以下几种方法:(1) 在 BODIPY 分子中的 1,3,5-,和/或 7-位置上取代苯乙烯基<sup>[14-17]</sup>;(2) 在 BODIPY 共轭体系内引入一个氧原子来和硼进一步配位<sup>[18-19]</sup>;(3) 中位 C 原子被 N 原子取代,即所谓的氮杂 BODIPY<sup>[20-25]</sup>;(4) 通过偶联反应在 3,5-位引入芳基,芳基苯乙烯基,芳基苯乙炔基<sup>[26-28]</sup>;(5) 在 BODIPY 的母核上稠合芳香性杂环<sup>[29-30]</sup>。本文采用芳环稠合的方式,实现了 BODIPY 吸收和发射的红移。我们使用的芳环是噻吩环,主要是因为其特殊的性质:芳香性较强,极其稳定,结构易于修饰以及较低的电子离域能(低于苯环)。在此基础上,我们设计了一个以联二噻吩并吡咯为单元的 BODIPY 染料。

人体体液酸碱平衡是人体的三大基础平衡之一(体温平衡、营养平衡、体液酸碱平衡)。而现代医学酸碱平衡理论研究结果告诫人们:人体营养平衡受制于体液酸碱平衡。正常组织的 pH 值通常为中性 7.4,癌细胞为弱酸性 pH=6.5~6.8<sup>[10]</sup>,溶酶体(lysosomes)内 pH 值为弱酸性(pH=4.0~6.0),溶酶体的 pH 值是动态的,在细胞凋亡等过程中,pH 值会进一步下降。利用正常细胞和癌细胞之间 pH 值的差别,设计合成用于检测癌细胞的近红外 pH 值探针引起了人们的广大兴趣。

在本文中我们在联二噻吩稠合的 BODIPY 染料的中位引入了电子给体-N(Me)<sub>2</sub> 得到染料 SY,既保证了染料在溶液中最大吸收峰和发射峰都进入了近红外区域,同时也保证了染料对 H<sup>+</sup>的响应,可用作 pH 值的荧光探针。

## 1 实验部分

### 1.1 实验主要试剂和仪器

#### 1.1.1 实验主要试剂

实验过程中所用到的试剂(没有特别指出之外)都是分析纯,均购于南京试剂厂。所用到无水 THF 用 Na 丝在氮气氛围下回流,二苯甲酮显为蓝色,蒸馏出 65~66 ℃的馏分。无水二氯甲烷则是用 CaH<sub>2</sub> 进行预处理,然后 CaH<sub>2</sub> 存在下回流蒸出。测试过程用到的二氯甲烷购于日本 TCI,色谱纯。

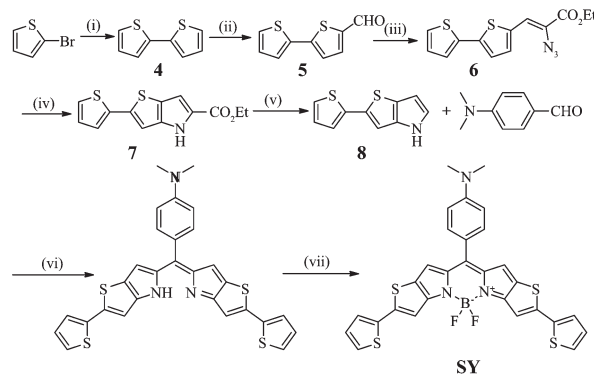
#### 1.1.2 实验主要仪器

MALDI-TOF Mass 数据测试使用的是 Bruker Daltonics autotoflex II 质谱仪。<sup>1</sup>H NMR 是以 CDCl<sub>3</sub> 为溶剂,用 500 MHz Bruker spectrometer 进行测试。荧光和紫外测试分别用到的仪器是 Hitachi (日立)F-4600, SHIMADZU(岛津)UV-2550。元素分析使用的仪器型号是 CHN-O-Rapid, 德国 Heraeus 公司生产。

### 1.2 BODIPY 染料合成

#### 1.2.1 染料 SY 的合成步骤

BODIPY 染料(SY)是通过联二噻吩并吡咯与 N,N-二甲氨基苯甲醛在三氟乙酸(TFA)的催化下,经二氯二氰基苯醌(DDQ)氧化,得到的中间体经三乙胺(TEA)去质子化,然后与三氟化硼乙醚溶液(BF<sub>3</sub>·Et<sub>2</sub>O)中的 BF<sub>3</sub> 配位得到(图 1 所示)。反应的关键步骤在于联二噻吩并吡咯单元的合成,其合成是以 2-溴噻吩为原料,经过格式试剂 Kumada 偶联反应得到联二噻吩(化合物 4),再经过 Vilsmeier 反应得到联二噻吩的醛(化合物 5),进一步与叠氮化物反应后环化得到吡咯衍生物(化合物 7),最后高温脱酯基得到联二噻吩并吡咯基团(化合物 8)。最终得到的染料 SY 用 <sup>1</sup>H NMR 和 MALDI-TOF-MASS 以及元素分析进行结构表征。



(i) Mg, Ni (dppp)<sub>2</sub>Cl<sub>2</sub>, THF; (ii) POCl<sub>3</sub>, DMF, 0~70 °C; (iii) N<sub>3</sub>CH<sub>2</sub>CO<sub>2</sub>Et, EtOH, NaOEt, 0 °C~RT; (iv) Toluene, reflux; (v) (CH<sub>2</sub>OH)<sub>2</sub>, KOH, reflux; (vi) TFA, DDQ, CH<sub>2</sub>Cl<sub>2</sub>, dark; (vii) TEA, BF<sub>3</sub>Et<sub>2</sub>O

图 1 染料 SY 的合成路线

Fig.1 Synthetic route for dye SY

#### 1.2.2 BODIPY 染料的合成路线

##### 1.2.2.1 中间体 4 的合成

将 356 mg 活化的镁屑(Mg, 13.2 mmol)放入到 50 mL 二颈瓶中,加入 5 mL 无水 THF。先将 2 g 2-溴噻吩(12.3 mmol)溶于 20 mL 无水 THF,升温至回流,反应 1 h。然后停止加热,冰水将反应瓶冷却到 0 °C。用注射器将瓶内反应液抽出,Ar 气保护下注入

到 2-溴噻吩(1.65 g, 10.2 mmol)和 1,3-二(二苯基膦)丙烷二氯化镍(II)(Ni(dppp)Cl<sub>2</sub>(56 mg, 0.10 mmol)的无水 THF(20 mL)混合液中,溶液由红色变为棕黄色,室温下再搅拌 3 h。加入 2 mol·L<sup>-1</sup> 的 NH<sub>4</sub>Cl 溶液淬灭反应,氯仿萃取,饱和食盐水洗,无水 Na<sub>2</sub>SO<sub>4</sub> 干燥。用 100~140 目硅胶装柱,石油醚作为洗脱剂进行层析分离,蒸干溶剂后得到中间体 4(无色固体,产率 94.3%)。<sup>1</sup>H NMR(500 MHz, CDCl<sub>3</sub>): $\delta$  7.22(dd, *J*=5.1, 1.0 Hz, 2H), 7.19(dd, *J*=3.5, 1.0 Hz, 2H), 7.02(dd, *J*=5.1, 3.6 Hz, 2H)。

### 1.2.2.2 中间体 5 的合成

在 50 mL 圆底烧瓶中加入 15 mL 无水 DMF,冰水浴将其冷至 0 ℃,然后加入 1.3 mL 三氯氧磷(POCl<sub>3</sub>, 13.9 mmol), 0 ℃搅拌 30 min, 溶液变黄变粘稠。接着将 954 mg 中间体 4(5.74 mmol)溶于约 10 mL 无水 DMF 中,室温下搅拌 30 min,然后升温至 70 ℃,反应过夜。停掉反应,加入稀 HCl 溶液淬灭反应,用乙酸乙酯萃取,饱和食盐水洗,合并有机相,无水 Na<sub>2</sub>SO<sub>4</sub> 干燥。用 100~140 目硅胶装柱,乙酸乙酯/石油醚(1:4, V/V)作为洗脱剂进行层析分离,蒸干溶剂后得到中间体 5(黄色固体,产率 90.1%)。<sup>1</sup>H NMR(500 MHz, CDCl<sub>3</sub>): $\delta$  9.85(s, 1H), 7.66(d, *J*=3.9 Hz, 1H), 7.37~7.30(m, 2H), 7.24(d, *J*=3.9 Hz, 1H), 7.07(dd, *J*=4.9, 3.8 Hz, 1H)。

### 1.2.2.3 中间体 6 的合成

将 4.32 g 乙醇钠固体(NaOEt, 63.6 mmol)加到 250 mL 圆底烧瓶中,加入 100 mL 乙醇溶解,冰水浴冷到 0 ℃,慢慢滴加叠氮乙酸乙酯(液体, 8.20 g, 63.6 mmol),中间体 5(固体, 6.17 g, 31.8 mmol)和少量乙醇的混合液。滴完之后,撤掉冰水浴,恢复到室温,搅拌 3.5 h。加入饱和的 NH<sub>4</sub>Cl 溶液淬灭反应,用无水乙醚萃取~100 mL×3,饱和食盐水洗 1 次,无水 Na<sub>2</sub>SO<sub>4</sub> 干燥。用 200~300 目硅胶装柱,乙酸乙酯/石油醚(1:30, V/V)作为洗脱剂进行层析分离,蒸干溶剂后得到中间体 6(黄色固体,产率 38.6%)。<sup>1</sup>H NMR(500 MHz, CDCl<sub>3</sub>): $\delta$  7.28~7.27 (m, 1H), 7.20 (d, *J*=3.9 Hz, 1H), 7.13(d, *J*=3.9 Hz, 1H), 7.10(s, 1H), 7.07~7.03(m, 1H), 4.36(q, *J*=7.1 Hz, 2H), 1.39(t, *J*=7.1 Hz, 3H)。

### 1.2.2.4 中间体 7 的合成

将 2.24 g 中间体 6 (7.33 mmol) 放入到 100 mL 圆底烧瓶中,加入 60 mL 甲苯溶解,之后加热到回流状态,反应 2 h,停止加热,恢复到室温。减压蒸馏除去甲苯,用乙酸乙酯/石油醚(1:4, V/V)作为洗脱剂

进行柱层析分离,得到中间体 7(棕色固体,产率 74.3%)。<sup>1</sup>H NMR (500 MHz, CDCl<sub>3</sub>): $\delta$  9.15(s, NH), 7.24(d, *J*=5.1 Hz, 1H), 7.21(d, *J*=2.9 Hz, 1H), 7.09(s, 1H), 7.04~7.02(m, 2H), 4.38(q, *J*=7.1 Hz, 2H), 1.39(t, *J*=7.1 Hz, 3H)。

### 1.2.2.5 中间体 8 的合成

将 1.52 g 中间体 7(5.48 mmol)和 1.20 g 氢氧化钾(KOH, 21.4 mmol)放入到 100 mL 圆底烧瓶中,加入 40 mL 乙二醇,加热至回流,反应 1 h。氯仿萃取,无水 Na<sub>2</sub>SO<sub>4</sub> 干燥,氯仿作为洗脱剂进行柱层析分离后得到中间体 8(白色固体,产率 70.5%)。<sup>1</sup>H NMR (500 MHz, CDCl<sub>3</sub>): $\delta$  8.22 (s, NH), 7.18~7.14(m, 2H), 7.07(s, 1H), 7.02~6.97(m, 2H), 6.46 ~6.41(m, 1H)。

### 1.2.2.6 染料 SY 的合成

将 100 mg 中间体 8 (0.49 mmol) 和 36.4 mg (0.244 mmol)*N,N*-二甲基氨基苯甲醛放入到 100 mL 圆底烧瓶中,加入 30 mL 无水二氯甲烷溶解,加入少量三氟乙酸在室温下反应 12 h,加入 55.4 mg (0.25 mmol)二氯二氰基苯醌(DDQ)氧化 1 h,加入 1 mL 三乙胺(TEA)和 1 mL 三氟化硼乙醚溶液(BF<sub>3</sub>·Et<sub>2</sub>O),室温下再反应 1 h。二氯甲烷萃取,依次用水,NaHCO<sub>3</sub> 溶液,饱和 NaCl 溶液洗涤,最后用无水 Na<sub>2</sub>SO<sub>4</sub> 干燥。乙酸乙酯/石油醚(1:8, V/V)作为洗脱剂进行层析分离,得到 BODIPY 染料 SY,粗产物经氯仿/正己烷重结晶后得到金黄色固体,产率:19.3%。<sup>1</sup>H NMR (500 MHz, CDCl<sub>3</sub>): $\delta$  7.58 (d, *J*=7.9 Hz, 1H), 7.38(d, *J*=8.3 Hz, 3H), 7.09(s, 1H), 6.93(s, 2H), 3.13(s, 3H)。MALDI-MS *m/z*:按 C<sub>29</sub>H<sub>20</sub>BF<sub>2</sub>N<sub>3</sub>S<sub>4</sub> 计算值:587.557, 实测值:607.75 [M+Na]<sup>+</sup>, 566.90[MF]<sup>+</sup>。元素分析计算值(%):C, 59.28; H, 3.43; N, 7.15; 实测值(%):C, 59.05; H, 3.21; N, 7.31。

## 2 结果与讨论

### 2.1 化合物 SY 的光化学性质

化合物 SY 的吸收和发射光谱如图 2 所示,联二噻吩基团稠合增大了 BODIPY 母核的共轭体系,因此,在二氯甲烷中,S<sub>0</sub>→S<sub>1</sub> 的电子跃迁能级差减小,吸收峰比简单的 BODIPY(470~530 nm)红移到 664 nm(实线)。除了噻吩基团的引入,染料分子本身的平面性也非常好(参见本课题组发表文章<sup>[31]</sup>中的近乎平面结构的化合物 II,二者的母核结构极为相似),有利于分子激发态电子的有效离域。另外,染料 SY 的摩尔吸光系数非常大 ( $\epsilon=1.68\times10^5$  L·mol<sup>-1</sup>·nm<sup>-1</sup>)。

表1 室温下染料SY在乙腈、四氢呋喃、二氯甲烷中的光谱数据

Table 1 Spectroscopic properties of dye SY in MeCN, THF, CH<sub>2</sub>Cl<sub>2</sub> at 298 K

Dye	Solvent	$\lambda_{\text{abs}}$ / nm	FWHM / nm	$\varepsilon$ / (L·mol <sup>-1</sup> ·cm <sup>-1</sup> )	$\lambda_{\text{em}}$ / nm	Stokes shift / nm	$\Phi^*$
SY	MeCN	654	48.0	$1.63 \times 10^5$	689	35	0.005
	THF	660	38.5	$1.65 \times 10^5$	685	25	0.007
	CH <sub>2</sub> Cl <sub>2</sub>	664	39.0	$1.68 \times 10^5$	691	27	0.023

\* Methylene blue in ethanol was used as a reference,  $\Phi=0.04^{[9]}$ .

cm<sup>-1</sup>),这也是具有良好光性能染料的重要参数之一。

与传统BODIPY染料类似,SY最大吸收峰的短波长位置也有一个肩峰,波长为610 nm,这是由分子骨架中C-C振动引起的。而在300~400 nm处的吸收峰则为S<sub>0</sub>→S<sub>2</sub>弱的电子跃迁,强度较弱。

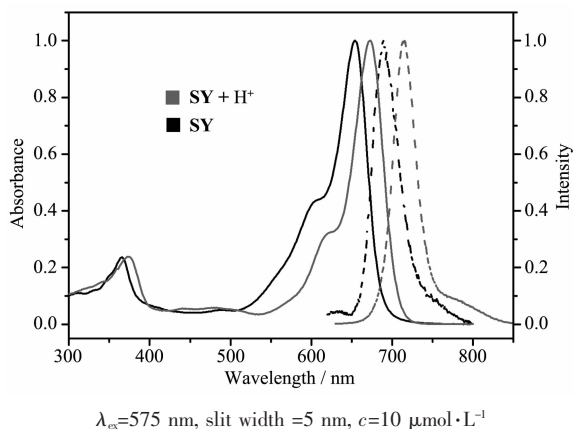


图2 染料SY, SY+H<sup>+</sup>在二氯甲烷中的归一化吸收(实线)和发射光谱(虚线)

Fig.2 Normalized absorption (solid line) and emission (dash line) of SY, SY+H<sup>+</sup> in dichloromethane

值得注意的是,BODIPY染料中位苯环上的N原子上存在一对孤对电子,结合质子以后染料SY在二氯甲烷中的最大吸收峰和发射峰的位置均发生了明显的红移,如图2所示:最大吸收峰由664 nm红移到677 nm,相应的荧光发射峰则由691 nm红移到了714 nm。同时,染料的荧光量子产率急剧降低,这是多方面原因造成的:(1) S原子的重原子效应;(2)与噻吩吡咯单元连接的噻吩环可以自由旋转,导致染料平面刚性不足;(3) N原子上存在孤对电子,发生分子内光诱导电子转移。

## 2.2 紫外和荧光滴定实验

### 2.2.1 紫外滴定

染料SY对H<sup>+</sup>响应的紫外滴定具体测试方法如下:在2 mL含有10 μmol·L<sup>-1</sup> SY的二氯甲烷溶液中,依次加入2 μL 1 mmol·L<sup>-1</sup>的H<sup>+</sup>(每次相当于0.1倍物质的量的三氟乙酸)二氯甲烷溶液,测试结果如

图3所示。随着H<sup>+</sup>的加入,SY最大吸收峰664 nm的吸光度逐渐下降,且伴随红移现象。当加入1倍物质的量的H<sup>+</sup>后,SY的最大吸收峰红移到了677 nm,溶液由蓝色变为绿色,摩尔吸光系数略有降低。之后再增大H<sup>+</sup>浓度,光谱无明显变化,证明滴定达到了平衡点。因此,化合物SY与H<sup>+</sup>的相应结合比例是1:1。

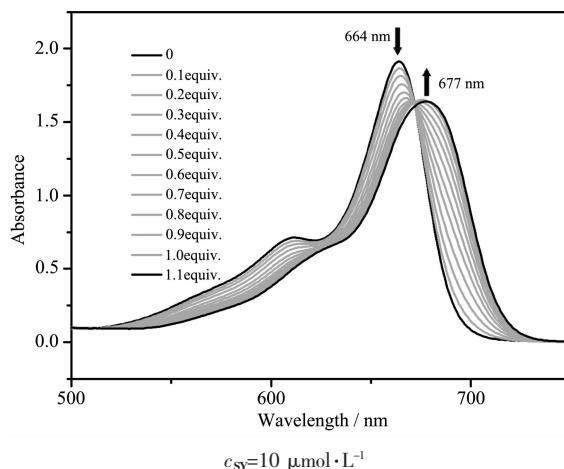


图3 染料SY的二氯甲烷溶液中逐渐加入0~1.1倍物质的量H<sup>+</sup>之后的紫外吸收变化

Fig.3 Absorption spectra changes of SY in dichloromethane upon addition of 0~1.1 equiv. H<sup>+</sup>

### 2.2.2 荧光滴定

荧光滴定的具体测试方法如下:在2 mL 10 μmol·L<sup>-1</sup> SY的二氯甲烷溶液中,逐步加大H<sup>+</sup>浓度,测试结果如图4所示。随着pH值由6.41逐渐降低到4.92,SY的荧光强度逐渐增强并伴随着光谱的红移。当pH值降到5.12后,SY红色荧光强度上升到最大值,即达到了平衡点,之后pH值再降低,荧光强度不再变化。图4中的内嵌图(a)也证实了这一点,曲线随着H<sup>+</sup>浓度增大,荧光强度呈曲线式增大,在1.0倍量H<sup>+</sup>以后,曲线变为直线,这说明1.0倍量H<sup>+</sup>为滴定的平衡点。化合物SY可以作为一种荧光增强型的pH值探针。此外,利用Henderson-Hasselblad方程对滴定曲线进行拟合(内嵌图(b)),结果表明该

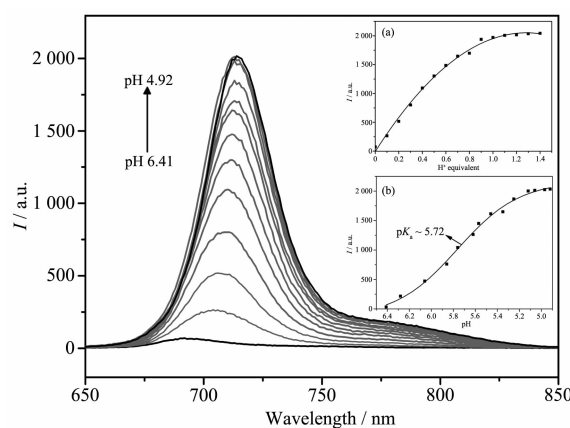


图4 染料SY在不同pH值下的荧光变化情况

Fig.4 Emission spectra of SY in dichloromethane with different pH values

染料探针的 $pK_a$ 约为5.72。

### 2.2.3 量子化学计算

紫外和荧光滴定实验表明加入氢离子后化合物SY的吸收光谱发生红移,荧光增强。为了更好的解释光谱性能,我们同时也进行了相关的量子化学理论计算。基态几何构型结构最优化利用密度泛函理论(DFT),使用B3LYP函数,使用T6-31G(d)基组,整个计算在Gaussian 09W软件程序包内完成<sup>[32]</sup>。染料分子SY和SY+H<sup>+</sup>的最低激发能主要是由HOMO→LUMO跃迁组成的,HOMO轨道分布在在整个共轭体系上。对于染料SY,LUMO轨道定域在BODIPY和中位苯环及N,N-二甲基基团上,激发态的电子从

BODIPY核到中位苯环及N,N-二甲基基团明显存在电荷转移,这也是导致荧光量子产率低的直接原因。在极性溶剂中,从二氯甲烷到己腈溶剂,有利于分子内电荷转移,增强非辐射速率,导致荧光淬灭,这与测试结果一致。

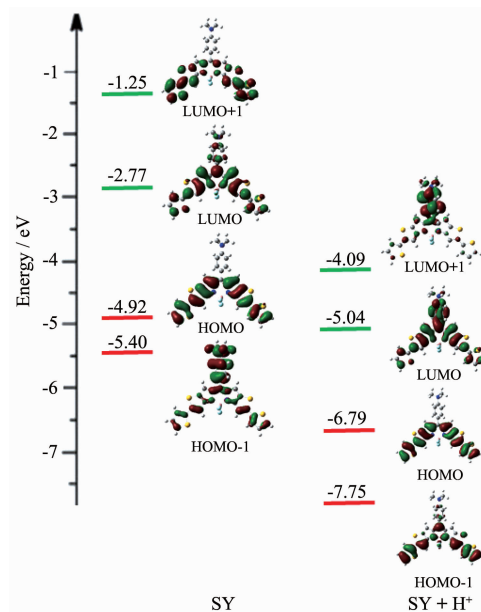


图5 采用B3LYP函数,使用6-31G(d)基组计算的染料SY质子化前后的前线轨道能级

Fig.5 Frontier orbital energy of the dyes SY and SY+H<sup>+</sup> calculated with B3LYP level 6-31G(d) basis sets

对于SY+H<sup>+</sup>,氨基质子化以后,使得HOMO和LUMO的能隙降低,紫外吸收红移,这与实验测试的数据一致。另外从电子分布来看,由于氨基的质子化

表2 计算的电子激发能、振子强度和相应的波函数

Table 2 Calculated electronic excitations energies, oscillator strengths and the related wave functions

	$S^a$	$\lambda / \text{nm}$	Energy / eV	$f^b$	Orbitals (coefficient) <sup>c</sup>
SY	$S_1$	567	2.18	1.309	H->L(+102%)
	$S_2$	536	2.31	0.398	H-1->L(+98%)
	$S_4$	455	2.72	0.022	H-3->L(+85%) H-4->L(+13%)
	$S_5$	410	3.02	0.026	H-4->L(+69%) H->L+1(+23%) H-3->L(7%)
	$S_6$	354	3.49	0.120	H-5->L(+50%) H->L+2(28%) H->L+1(14%)
SY+H <sup>+</sup>	$S_1$	686	1.81	0.73	H->L(+92%) H->L+1(+7%)
	$S_2$	547	2.27	0.004	H-2->L(+84%) H->L+1(8%)
	$S_3$	544	2.28	0.103	H->L+1(+58%) H->L+2(26%) H-2->L(+12%)
	$S_4$	527	2.35	0.091	H-1->L(+63%) H-3->L(29%)
	$S_5$	521	2.38	0.562	H->L+2(+68%) H->L+1(+23%) H->L(9%)
	$S_6$	465	2.67	0.217	H-3->L(+67%) H-1->L(+25%) H->L+4(+6%)
	$S_7$	386	3.21	0.005	H-4->L(+72%) H-5->L(+12%) H-6->L(10%)

<sup>a</sup> Excited state; <sup>b</sup> Oscillator strength; <sup>c</sup> MOs involved in the transitions.

可抑制向氨基的电子转移,减弱了分子内电子转移,荧光逐渐增强,可用作荧光增强型pH值探针。

### 3 结 论

采用芳香性杂环稠合的方式,选用性能良好的联二噻吩基团对经典的BODIPY进行修饰,得到化合物**SY**。化合物**SY**的吸收和发射光谱成功红移到650~1 000 nm区域,其最大吸收和发射峰分别落在664和691 nm(二氯甲烷中)。另外,化合物**SY**对pH值有快速的响应,pH值发生变化时,其紫外吸收和荧光发射光谱都会发生明显的变化,裸眼可见。紫外和荧光滴定实验均证明了染料**SY**与H<sup>+</sup>结合比例是1:1。因此,化合物**SY**可作为pH值荧光探针。为后续工作提供了理论和实验数据的支持。我们将进一步改善这类BODIPY衍生物的水溶性,以期应用在细胞成像方面。

### 参 考 文 献:

- [1] Dqhne S, Resch-Genger U, Wolfbeis O S. *Near-Infrared Dyes for High Technology Applications*. Dordrecht: Kluwer, **1998**.
- [2] Mishra A, Behera R K, Mishra B B, et al. *Chem. Rev.*, **2000**,**100**(6):1973-2011
- [3] Prasad P N. *Introduction to Biophotonics*. New Jersey Hoboken: John Wiley & Sons, **2003**.
- [4] Shen Z, Röhr H, Rurack K, et al. *Chem.-Eur. J.*, **2004**,**10**(19):4853-4871
- [5] Gorman A, Killoran J, O'Shea C, et al. *J. Am. Chem. Soc.*, **2004**(126):10619-10631
- [6] McDonnell S O, Hall M J, Allen L T, et al. *J. Am. Chem. Soc.*, **2005**,**127**(47):16360-16361
- [7] Yogo T, Urano Y, Ishitsuka Y, et al. *J. Am. Chem. Soc.*, **2005**,**127**(35):12162-12163
- [8] Atilgan S, Ekmekci Z, Dogan A L, et al. *Chem. Commun.*, **2006**(42):4398-4400
- [9] Erbas S, Gorgulu A, Kocakusakogullari M, et al. *Chem. Commun.*, **2009**(33):4956-4958
- [10] Ozlem S, Akkaya E U. *J. Am. Chem. Soc.*, **2009**,**131**(1):48-49
- [11] Lim S H, Thivierge C, Nowak-Sliwinska P, et al. *J. Med. Chem.*, **2010**,**53**(7):2865-2874
- [12] He H, Lo P C, Yeung S L, et al. *Chem. Commun.*, **2011**,**47**(16):4748-4750
- [13] He H, Lo P C, Yeung S L, et al. *J. Med. Chem.*, **2011**,**54**(8):3097-3102
- [14] Yu Y H, Descalzo A B, Shen Z, et al. *Chem. Asian J.*, **2006**,**1**:176-18
- [15] Zheng Q, Xu G, Prasad P N. *Chem. Eur. J.*, **2008**,**14**(19):5812-5819
- [16] Rurack K, Kollmannsberger M, Daub J. *Angew. Chem.*, **2001**,**113**:396-399
- [17] Rurack K, Kollmannsberger M, Daub J. *New J. Chem.*, **2001**,**25**:289-292
- [18] Zhou Y, Xiao Y, Chi S, et al. *Org. Lett.*, **2008**,**10**(4):633-636
- [19] Feng J, Liang B, Wang D, et al. *Org. Lett.*, **2008**,**10**(20):4437-4440
- [20] Coskun A, Yilmaz M D, Akkaya E U. *Org. Lett.*, **2007**,**9**(4):607-609
- [21] Zhao W, Carreira E M. *Chem. Eur. J.*, **2006**,**12**(27):7254-7263
- [22] Zhao W, Carreira E M. *Angew. Chem. Int. Ed.*, **2005**,**44**(11):1677-1679
- [23] Liu H, Mack J, Guo Q, et al. *Chem. Commun.*, **2011**,**47**:12092-12094
- [24] Loudet A, Bandichhor R, Wu L X, et al. *Tetrahedron*, **2008**,**64**:3642-3654
- [25] Adarsh N, Avirah R R, Ramaiah D. *Org. Lett.*, **2010**,**12**(24):5720-5723
- [26] Awuah S G, Polreis J, Biradar V, et al. *Org. Lett.*, **2011**,**13**(15):3884-3887
- [27] Jiao L, Pang W, Zhou J, et al. *J. Org. Chem.*, **2011**,**76**(24):9988-9996
- [28] Varanasi P R, Jen A K Y, Chandrasekhar J, et al. *J. Am. Chem. Soc.*, **1996**,**118**(49):12443-12448
- [29] Kim S, Ohulchanskyy T Y, Baev A, et al. *J. Mater. Chem.*, **2009**,**19**(20):3181-3188
- [30] Chen Y, Zhao J, Xie L, et al. *RSC Adv.*, **2012**,**2**:3942-3953
- [31] Yang Y, Guo Q, Chen, H, et al. *Chem. Commun.*, **2013**,**49**:3940-3942
- [32] Frisch M J, Trucks G W, Schlegel H B, et al. *Gaussian 09, Revision A.1*, Gaussian, Inc., Wallingford CT, **2009**.